

Multivalente Antikörper-Konstrukte

Publication number: DE19819846 (A1)

Publication date: 1999-11-11

Inventor(s): LITTLE MELVYN [DE]; KIPRIYANOV SERGEJ [DE]

Applicant(s): DEUTSCHES KREBSFORSCH [DE]

Classification:


- **international:** **G01N33/53; A61K39/395; C07K14/82; C07K16/00; C07K16/28; C12N15/09; G01N33/531; G01N33/53; A61K39/395; C07K14/82; C07K16/00; C07K16/18; C12N15/09; G01N33/531; (IPC1-7): G01N33/569; G01N33/574; C07K16/00; A61K39/395; C12N15/63**


- **European:** C07K14/82; C07K16/28A; C07K16/28A12; G01N33/531


Application number: DE19981019846 19980505


Priority number(s): DE19981019846 19980505


Also published as:

 US7129330 (B1)

 US2007031436 (A1)


 US7507796 (B2)

 JP2002513805 (T)

 ES2296395 (T3)

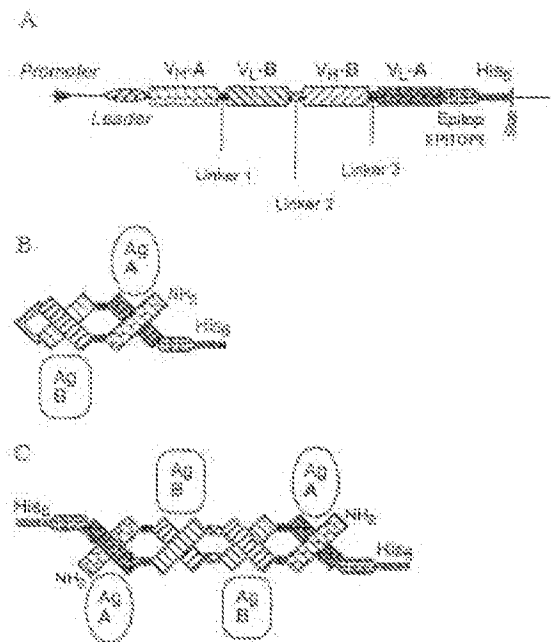
more >>

Cited documents:

 WO9119739 (A1)

Abstract of DE 19819846 (A1)

The invention relates to a multivalent Fv antibody construct comprising at least four variable domains which are connected to one another via peptide linkers 1, 2 and 3. The invention also relates to expression plasmids which code for such an Fv antibody construct. In addition, the invention relates to a method for producing the Fv antibody constructs and to the use thereof.



Data supplied from the **esp@cenet** database — Worldwide



19 BUNDESREPUBLIK
DEUTSCHLAND



DEUTSCHES
PATENT- UND
MARKENAMT

12 **Offenlegungsschrift**
10 **DE 198 19 846 A 1**

51 Int. Cl.⁶:
C 07 K 16/00
A 61 K 39/395
C 12 N 15/63
// G01N 33/569,
33/574

21 Aktenzeichen: 198 19 846.9
22 Anmeldetag: 5. 5. 98
43 Offenlegungstag: 11. 11. 99

DE 198 19 846 A 1

<p>71 Anmelder: Deutsches Krebsforschungszentrum Stiftung des öffentlichen Rechts, 69120 Heidelberg, DE</p> <p>74 Vertreter: Patentanwälte Dr. Bernard Huber, Dr. Andrea Schübler, 81825 München</p>	<p>72 Erfinder: Little, Melvyn, 69151 Neckargemünd, DE; Kipriyanov, Sergej, 69121 Heidelberg, DE</p> <p>56 Entgegenhaltungen: WO 91 19 739 CA 119:157915a; CA 126:130370a;</p>
--	--

Die folgenden Angaben sind den vom Anmelder eingereichten Unterlagen entnommen

Prüfungsantrag gem. § 44 PatG ist gestellt

54 Multivalente Antikörper-Konstrukte

57 Die vorliegende Erfindung betrifft ein multivalentes F_v-Antikörper-Konstrukt mit mindestens vier variablen Domänen, die über die Peptidlinker 1, 2 und 3 miteinander verbunden sind. Ferner betrifft die Erfindung Expressionsplasmide, die für ein solches F_v-Antikörper-Konstrukt codieren, und ein Verfahren zur Herstellung der F_v-Antikörper-Konstrukte sowie deren Verwendung.

DE 198 19 846 A 1

Die vorliegende Erfindung betrifft multivalente F_v-Antikörper-Konstrukte, sie kodierende Expressionsplasmide, und ein Verfahren zur Herstellung der F_v-Antikörper-Konstrukte sowie ihre Verwendung.

Natürliche Antikörper sind Dimere und werden daher als bivalent bezeichnet. Sie weisen vier variable Domänen, nämlich zwei V_H- und zwei V_L-Domänen, auf. Die variablen Domänen dienen als Bindungsstellen für ein Antigen, wobei eine Bindungsstelle aus einer V_H- und einer V_L-Domäne ausgebildet ist. Natürliche Antikörper erkennen jeweils ein Antigen, wodurch sie auch als monospezifisch bezeichnet werden. Ferner weisen sie auch konstante Domänen auf. Diese tragen zur Stabilität der natürlichen Antikörper bei. Andererseits sind sie auch für unerwünschte Immunreaktionen mitverantwortlich, die entstehen, wenn natürliche Antikörper verschiedener Tierarten wechselseitig verabreicht werden.

Zur Vermeidung solcher Immunreaktionen werden Antikörper konstruiert, denen die konstanten Domänen fehlen. Insbesondere sind dies Antikörper, die nur noch die variablen Domänen aufweisen. Solche Antikörper werden mit F_v-Antikörper-Konstrukten bezeichnet. Diese liegen häufig in Form einzelkettiger, sich miteinander gepaarter Monomere vor.

Es hat sich allerdings gezeigt, daß F_v-Antikörper-Konstrukte nur eine geringe Stabilität aufweisen. Ihre Verwendbarkeit für therapeutische Zwecke ist daher stark eingeschränkt.

Der vorliegenden Erfindung liegt somit die Aufgabe zugrunde, einen Antikörper bereitzustellen, mit dem unerwünschte Immunreaktionen vermieden werden können. Ferner soll er eine Stabilität aufweisen, die ihn für therapeutische Zwecke einsetzbar macht.

Erfindungsgemäß wird dies durch die Gegenstände in den Patentansprüchen erreicht.

Gegenstand der vorliegenden Erfindung ist somit ein multivalentes F_v-Antikörper-Konstrukt, das eine große Stabilität aufweist. Ein solches eignet sich für diagnostische und therapeutische Zwecke.

Die vorliegende Erfindung beruht auf den Erkenntnissen des Anmelders, daß die Stabilität eines F_v-Antikörper-Konstruktes erhöht werden kann, wenn dieses in Form eines einzelkettigen Dimeres vorliegt, bei dem die vier variablen Domänen über drei Peptidlinker miteinander verbunden sind. Ferner hat der Anmelder erkannt, daß sich das F_v-Antikörper-Konstrukt mit sich selbst faltet, wenn der mittlere Peptidlinker eine Länge von etwa 10–30 Aminosäuren aufweist. Des weiteren hat der Anmelder erkannt, daß sich das F_v-Antikörper-Konstrukt mit anderen F_v-Antikörper-Konstrukten zusammenfaltet, wenn der mittlere Peptidlinker eine Länge von etwa bis zu 10 Aminosäuren aufweist, wodurch ein multimeres, d. h. multivalentes, F_v-Antikörper-Konstrukt erhalten wird. Auch hat der Anmelder erkannt, daß das F_v-Antikörper-Konstrukt multispezifisch sein kann.

Erfindungsgemäß werden die Erkenntnisse des Anmelders genutzt, ein multivalentes F_v-Antikörper-Konstrukt bereitzustellen, das mindestens vier variable Domänen umfaßt, die über die Peptidlinker 1, 2 und 3 miteinander verbunden sind.

Der Ausdruck "F_v-Antikörper-Konstrukt" weist auf einen Antikörper hin, der variable Domänen, nicht aber konstante Domänen aufweist.

Der Ausdruck "multivalentes F_v-Antikörper-Konstrukt" weist auf einen F_v-Antikörper hin, der mehrere variable Domänen, jedoch mindestens vier aufweist. Solches wird erreicht, wenn sich das einzelkettige F_v-Antikörper-Konstrukt

mit sich selbst faltet, wodurch vier variable Domänen gegeben sind, oder sich mit anderen einzelkettigen F_v-Antikörper-Konstrukten zusammenfaltet. In letzterem Fall liegt ein F_v-Antikörper-Konstrukt vor, das 8, 12, 16, etc. variable Domänen aufweist. Günstig ist es, wenn das F_v-Antikörper-Konstrukt vier oder acht variable Domänen aufweist, d. h. es ist bi- oder tetravalent (vgl. Fig. 1). Ferner können die variablen Domänen gleich oder verschieden voneinander sein, wodurch das Antikörper-Konstrukt ein oder mehrere Antigene erkennt. Vorzugsweise erkennt das Antikörper-Konstrukt ein oder zwei Antigene, d. h. es ist mono- bzw. bispezifisch. Beispiele solcher Antigene sind die Proteine CD19 und CD3.

Der Ausdruck "Peptidlinker 1, 3" weist auf einen Peptidlinker hin, der geeignet ist, variable Domänen eines F_v-Antikörper-Konstruktes miteinander zu verbinden. Der Peptidlinker kann jegliche Aminosäuren enthalten, wobei die Aminosäuren Glycin (G), Serin (S) und Prolin (P) bevorzugt sind. Die Peptidlinker 1 und 3 können gleich oder verschieden voneinander sein. Ferner kann der Peptidlinker eine Länge von etwa 0–10 Aminosäuren aufweisen. In ersterem Fall ist der Peptidlinker lediglich eine Peptidbindung aus dem COOH-Rest einer der variablen Domänen und dem NH₂-Rest einer anderen der variablen Domänen. Vorzugsweise weist der Peptidlinker die Aminosäuresequenz GG auf.

Der Ausdruck "Peptidlinker 2" weist auf einen Peptidlinker hin, der geeignet ist, variable Domänen eines F_v-Antikörper-Konstruktes miteinander zu verbinden. Der Peptidlinker kann jegliche Aminosäuren enthalten, wobei die Aminosäuren Glycin (G), Serin (S) und Prolin (P) bevorzugt sind. Ferner kann der Peptidlinker eine Länge von etwa 3–10 Aminosäuren, insbesondere 5 Aminosäuren, und ganz besonders die Aminosäuresequenz GGPGS, aufweisen, wodurch erreicht wird, daß sich das einzelkettige F_v-Antikörper-Konstrukt mit anderen einzelkettigen F_v-Antikörper-Konstrukten zusammenfaltet. Des weiteren kann der Peptidlinker eine Länge von etwa 11–20 Aminosäuren, insbesondere 15–20 Aminosäuren, und ganz besonders die Aminosäuresequenz (G₄S)₄, aufweisen, wodurch erreicht wird, daß sich das einzelkettige F_v-Antikörper-Konstrukt mit sich selbst faltet.

Ein erfindungsgemäßes F_v-Antikörper-Konstrukt kann durch übliche Verfahren hergestellt werden. Günstig ist ein Verfahren, bei dem für die Peptidlinker 1, 2 und 3 kodierende DNAs mit für die vier variablen Domänen eines F_v-Antikörper-Konstruktes kodierenden DNAs ligiert werden derart, daß die Peptidlinker die variablen Domänen miteinander verbinden, und das erhaltene DNA-Molekül in einem Expressionsplasmid exprimiert wird. Es wird auf die Beispiele 1–5 verwiesen. Hinsichtlich der Ausdrücke "F_v-Antikörper-Konstrukt" und "Peptidlinker" wird auf vorstehende Ausführungen verwiesen. Ergänzend wird auf Maniatis, T. et al., Molecular Cloning, A Laboratory Manual, Cold Spring Harbor Laboratory 1982, verwiesen.

DNAs, die für ein erfindungsgemäßes F_v-Antikörper-Konstrukt kodieren, sind ebenfalls Gegenstand der vorliegenden Erfindung. Ferner sind Expressionsplasmide, die solche DNAs enthalten, auch Gegenstand der vorliegenden Erfindung. Bevorzugte Expressionsplasmide sind pDISC3 × 19-LL, pDISC3 × 19-SL, pPiC-DISC-LL und pPiC-DISC-SL. Diese wurden bei der DSMZ (Deutsche Sammlung für Mikroorganismen und Zellen) am 30. April 1998 unter DSM 12150, DSM 12149, DSM 12152 bzw. DSM 12151 hinterlegt.

Ein weiterer Gegenstand der vorliegenden Erfindung ist ein Kit, umfassend:

- (a) ein erfindungsgemäßes F_v-Antikörper-Konstrukt, und/oder
- (b) ein erfindungsgemäßes Expressionsplasmid, sowie
- (c) übliche Hilfsstoffe, wie Puffer, Lösungsmittel und Kontrollen.

Von den einzelnen Komponenten können ein oder mehrere Vertreter vorliegen.

Die vorliegende Erfindung stellt ein multivalentes F_v-Antikörper-Konstrukt bereit, bei dem die variablen Domänen über Peptidlinker miteinander verbunden sind. Ein solches Antikörper-Konstrukt zeichnet sich dadurch aus, daß es keine Teile enthält, die zu unerwünschten Immunreaktionen führen können. Ferner weist es eine große Stabilität auf. Des weiteren ermöglicht es mehrere Antigene gleichzeitig zu binden. Das erfindungsgemäße F_v-Antikörper-Konstrukt eignet sich daher bestens nicht nur für diagnostische, sondern auch für therapeutische Zwecke verwendet zu werden. Solche Zwecke können hinsichtlich jeder Erkrankung, insbesondere einer viralen, bakteriellen oder Tumor-Erkrankung, gesehen werden.

Kurze Beschreibung der Zeichnungen

Fig. 1 zeigt die genetische Organisation eines erfindungsgemäßen F_v-Antikörper-Konstruktes (A) und Schemata zur Bildung eines bivalenten (B) bzw. tetravalenten F_v-Antikörper-Konstruktes (C). Ag: Antigen; His₆: sechs C-terminale Histidinreste; Stop: Stoppcodon (TAA); V_H und V_L: variable Region der schweren und der leichten Kette.

Fig. 2 zeigt das Schema zur Konstruktion der Plasmide pDISC3 × 19-LL und pDISC3 × 19-SL. c-myc: Sequenz, kodierend für ein Epitop, das von dem Antikörper 9E1 erkannt wird, His₆: Sequenz, die für sechs C-terminale Histidinreste kodiert; PeIB: Signalpeptidsequenz der bakteriellen Pectatylase (PeIB-Leader); rbs: Ribosomenbindungsstelle; Stop: Stoppcodon (TAA); V_H und V_L: variable Region der schweren und der leichten Kette.

Fig. 3 zeigt ein Diagramm des Expressionsplasmids pDISC3 × 19-LL. 6 × His: Sequenz, die für sechs C-terminale Histidinreste kodiert; bla: Gen, das für β-Lactamase kodiert, die für Ampicillinresistenz verantwortlich ist; bp: Basenpaare; c-myc: Sequenz, kodierend für ein Epitop, das von dem Antikörper 9E10 erkannt wird; ColE1: Origin der DNA-Replikation; f1-IG: intergenische Region des Bakteriophagen f1; Lac P/O: wt lac-Operon-Promotor/Operator; Linker 1: Sequenz, die für ein GlyGly-Dipeptid kodiert, das die V_H- und V_L-Domänen verknüpft; Linker 2: Sequenz, die für ein (Gly₄Ser)₄-Polypeptid kodiert, das die hybriden scFv-Fragmente verknüpft; Pel-B-Leader: Signalpeptidsequenz der bakteriellen Pectatylase; rbs: Ribosomenbindungsstelle; V_H und V_L: variable Region der schweren und der leichten Kette.

Fig. 4 zeigt ein Diagramm des Expressionsplasmids pDISC3 × 19-SL. 6 × His: Sequenz, die für sechs C-terminale Histidinreste codiert; bla: Gen, das für βpaare; c-myc: Sequenz, kodierend für ein Epitop, das von dem Antikörper 9E10 erkannt wird; ColE1: Origin der DNA-Replikation; f1-IG: intergenische Region des Bakteriophagen f1; Lac P/O: wt lac-Operon-Promotor/Operator; Linker 1: Sequenz, die für ein GlyGly-Dipeptid codiert, das die V_H- und V_L-Domänen verknüpft; Linker 3: Sequenz, die für ein GlyGlyProGlySer-Oligopeptid codiert, das die hybriden scFv-Fragmente verknüpft; Pel-B-Leader: Signalpeptidsequenz der bakteriellen Pectatylase; rbs: Ribosomenbindungsstelle; V_H und V_L: variable Region der schweren und der leichten Kette.

Fig. 5 zeigt die Nukleotid- und die davon abgeleitete

Aminosäuresequenz des durch das Expressionsplasmid pDISC3 × 19-LL kodierten bivalenten F_v-Antikörper-Konstruktes. c-myc-Epitop: Sequenz, kodierend für ein Epitop, das von dem Antikörper 9E10 erkannt wird; CDR: Komplementarität bestimmende Region; Gerüst: Gerüstregion (Framework-Region); His₆-Schwanz, Sequenz, die für sechs C-terminale Histidinreste kodiert; PeIB-Leader: Signalpeptidsequenz der bakteriellen Pectatylase; RBS: Ribosomenbindungsstelle; V_H und V_L: variable Region der schweren und der leichten Kette.

Fig. 6 zeigt die Nukleotid- und die abgeleitete Aminosäuresequenz des durch das Expressionsplasmid pDISC3 × 19-SL kodierten tetravalenten F_v-Antikörper-Konstruktes. c-myc-Epitop: Sequenz, kodierend für ein Epitop, das von dem Antikörper 9E10 erkannt wird; CDR: Komplementarität bestimmende Region, Gerüst: Gerüstregion (Framework-Region); His₆-Schwanz, Sequenz, die für sechs C-terminale Histidinreste kodiert; PeIB-Leader: Signalpeptidsequenz der bakteriellen Pectatylase; RBS: Ribosomenbindungsstelle; V_H und V_L: variable Region der schweren und der leichten Kette.

Fig. 7 zeigt die Nukleotid- und die abgeleitete Aminosäuresequenz einer Verbindung zwischen einem Gen, das für eine α-Faktor-Leadersequenz kodiert, und einem Gen, das für das tetravalente F_v-Antikörper-Konstrukt codiert, in dem Pichia-Expressionsplasmid pPIC-DISC-SL. Alpha-Faktor-Signal: Leaderpeptidsequenz des Saccharomyces cerevisiae-α-Faktor-Sekretionssignals; V_H: variable Region der schweren Kette. Rauten zeigen die Signalspaltstellen an.

Fig. 8 zeigt die Nukleotid- und die abgeleitete Aminosäuresequenz einer Verbindung zwischen einem Gen, das für eine α-Faktor-Leadersequenz kodiert, und einem Gen, das für das bivalente F_v-Antikörper-Konstrukt codiert, in dem Pichia-Expressionsplasmid pPIC-DISC-LL. Alpha-Faktor-Signal: Leaderpeptidsequenz des Saccharomyces cerevisiae-α-Faktor-Sekretionssignals; V_H: variable Region der schweren Kette. Rauten zeigen die Signalspaltstellen an.

Die Erfindung wird durch die nachfolgenden Beispiele erläutert.

Beispiel 1

Konstruktion der Plasmide pDISC3 × 19-LL und pDISC3 × 19-SL zur Expression von bivalenten, bispezifischen bzw. tetravalenten, bispezifischen F_v-Antikörper-Konstrukten in Bakterien

Die Plasmide pHOG-αCD19 und pHOG-dmOKT3, welche für die scFv-Fragmente codieren, die von dem Hybridom HD37, das für menschliches CD19 (Kipriyanov et al., 1996, J. Immunol. Meth. 196, 51–62) spezifisch ist, bzw. von dem Hybridom OKT3, das für menschliches CD3 (Kipriyanov et al., 1997, Protein Eng. 10, 445–453) spezifisch ist, abgeleitet sind, wurde zur Konstruktion von Expressionsplasmiden für ein einzelkettiges F_v-Antikörper-Konstrukt verwendet. Ein PCR-Fragment 1 der V_H-Domäne von Anti-CD19, gefolgt von einem Segment, das für einen GlyGly-Linker codiert, wurde unter Verwendung der Primer DP1, 5'-TCACACAGAATTCTTAGATCTATTAAGAGGAGAAATTAACC, und DP2, 5'-AGCACACGATATCACCGCCAAGCTTGGGTGTTGTTTTGGC, erzeugt (vgl. Fig. 2). Das PCR-Fragment 1 wurde mit EcoRI und EcoRV gespalten und mit dem mit EcoRI/EcoRV linearisierten Plasmid pHOG-dmOKT3 ligiert, wodurch der Vektor pHOG19-3 erzeugt wurde. Das PCR-Fragment 2 der V_L-Domäne von Anti-CD19, gefolgt von einem Segment, das für ein c-myc-Epitop und einen Hexahistidynschwanz codiert, wurde unter Verwendung der Primer DP3, 5'-AGCA-

CACAAGCTTGGCGGTGATATCTTGCTCACCCAAAC-TCCA, und DP4, 5'-AGCACACTCTAGAGACACACAGATCTTTAGTGGTGATGGTGTGAGTTTGG, erzeugt. Das PCR-Fragment 2 wurde mit HindIII und XbaI gespalten und mit dem durch HindIII/XbaI linearisierten Plasmid pHOG-dmOKT3 ligiert, wodurch der Vektor pHOG3-19 erhalten wurde (vgl. Fig. 2). Das für das hybride scFv-3-19 codierende Gen in dem Plasmid pHOG3-19 wurde mittels PCR mit den Primern Bi3sk, 5'-CAGCCGGCCATGGCGCAGGTGCAACTGCAGCAG und entweder Li-1, 5'-TATA-TACTGCAGCTGCACCTGGCTACCACCAC-CACCGGAGCCGCCACCACCGCTACCACCGCCGCGC-AGAACCACCACCACCAGCGGCCGAGCATCAGCCCG, zur Erzeugung eines langen flexiblen (Gly₄Ser)₄-inter-scFv-Linkers (PCR-Fragment 3, vgl. Fig. 2) oder Li-2, 5'-TATATACTGCAGCTGCACCTGCGACCCTGGGCCAC-CAGCGGCCGAGCATCAGCCCG, zur Erzeugung eines kurzen, starren GGPGS-Linkers (PCR-Fragment 4, vgl. Fig. 2) amplifiziert. Die Expressionsplasmide pDISC3 × 19-LL und pDISC3 × 19-SL wurden durch Ligierung des NcoI/PvuII-Restriktionsfragments aus pHOG 19-3, umfassend das Vektorgerüst und die NcoI/PvuII-gespaltenen PCR-Fragmente 3 bzw. 4 konstruiert (vgl. Fig. 3, 4). Die vollständige Nukleotid- und Proteinsequenzen der bivalenten bzw. tetravalenten F_v-Antikörper-Konstrukte sind in den Fig. 5 bzw. 6 angegeben.

Beispiel 2

Konstruktion der Plasmide pPIC-DISC-LL und pPIC-DISC-SL zur Expression von bivalenten, bispezifischen bzw. tetravalenten, bispezifischen F_v-Antikörper-Konstrukten in Hefe

(A) Konstruktion von pPIC-DISC-SL

Der Vektor pPICZαA (Invitrogen BV, Leek, Niederlande) zur Expression und Sekretion von rekombinanten Proteinen in der Hefe *Pichia pastoris* wurde als Ausgangsmaterial verwendet. Er enthält ein Gen, das für das *Saccharomyces cerevisiae* α-Faktor-Sekretionssignal codiert, gefolgt von einem Polylinker. Die Sekretion dieses Vektors beruht auf dem dominanten selektierbaren Marker, ZeocinTM, der sowohl in *Pichia* als auch in *E. coli* bifunktionell ist. Das Gen, das für das tetravalente F_v-Antikörper-Konstrukt (scDia-SL) codiert, wurde mittels PCR von der Matrize pDISC3 × 19-SL unter Verwendung der Primer 5-PIC, 5'-CCGTGAATTCCAGGTGCAACTGCAG-CAGTCTGGGGCTGAACTGGC, und pSEXBn 5'-GGTTCGACGTTAACCAGACAAACAACAGATAAAACG amplifiziert. Das so erhaltene PCR-Produkt wurde mit EcoRI und XbaI gespalten und in mit EcoRI/XbaI linearisiertes pPICZαA ligiert. Es wurde das Expressionsplasmid pPIC-DISC-SL erhalten. Die Nukleotid- und Proteinsequenzen des tetravalenten F_v-Antikörper-Konstruktes sind in Fig. 7 gezeigt.

(B) Konstruktion von pPIC-DISC-LL

Die Konstruktion von pPIC-DISC-LL wurde auf der Grundlage von pPICZαA (Invitrogen BV, Leek, Niederlande) und pDISC3 × 19-LL (vgl. Fig. 3) durchgeführt. Die Plasmid-DNA pPICZαA wurde mit EcoRI gespalten. Die überstehenden 5'-Enden wurden unter Verwendung eines Klenow-Fragments der *E. coli*-DNA-Polymerase I aufgefüllt. Die so erhaltene DNA wurde mit XbaI gespalten, und das große Fragment, umfassend den pPIC-Vektor, wurde

isoliert. Analog wurde die DNA von pDISC3 × 19-LL mit NcoI gespalten und mit einem Klenow-Fragment behandelt. Nach der Spaltung mit XbaI wurde ein kleines Fragment, umfassend ein für den bivalenten F_v-Antikörper kodierendes Gen, isoliert. Dessen Ligierung mit einer pPIC-abgeleiteten Vektor-DNA ergab das Plasmid pPIC-DISC-LL. Die Nukleotid- und Proteinsequenz des bivalenten F_v-Antikörper-Konstruktes sind in Fig. 8 gezeigt.

Beispiel 3

Expression des tetravalenten bzw. bivalenten F^{''}-Antikörper-Konstruktes in Bakterien

E. coli-XL1-Blue-Zellen (Stratagene, La Jolla, CA), die mit den Expressionsplasmiden pDISC3 × 19-LL bzw. pDISC3 × 19-SL transformiert worden waren, wurden über Nacht in 2×YT-Medium mit 50 µg/ml Ampicillin und 100 mM Glucose (2×YT_{GA}) bei 37°C gezüchtet. 1 : 50-Verdünnungen der Übernachtskulturen in 2×YT_{GA} wurden als Kolbenkulturen bei 37°C unter Schütteln mit 200 µM gezüchtet. Als die Kulturen einen OD₆₀₀-Wert von 0,8 erreicht hatten, wurden die Bakterien durch 10minütige Zentrifugation mit 1500 g bei 20°C pelletiert und in dem gleichen Volumen eines frischen 2×YT-Mediums, das 50 µg/ml Ampicillin und 0,4 M Saccharose enthielt, resuspendiert. IPTG wurde bis zu einer Endkonzentration von 0,1 mM zugesetzt, und das Wachstum wurde bei Raumtemperatur (20–22°C) 18–20 h fortgesetzt. Die Zellen wurden durch 10minütige Zentrifugation mit 5000 g bei 4°C geerntet. Der Kulturüberstand wurde zurückgehalten und auf Eis gelagert. Um die löslichen periplasmatischen Proteine zu isolieren, wurden die pelletierten Bakterien in 5% des Anfangsvolumens an eiskalter 50 mM Tris-HCl, 20% Saccharose, 1 mM EDTA, pH 8,0, resuspendiert. Nach einer 1 stündigen Inkubation auf Eis unter gelegentlichem Rühren wurden die Sphäroplasten mit 30.000 g 30 min bei 4°C zentrifugiert, wobei der lösliche periplasmatische Extrakt als Überstand und die Sphäroplasten mit dem unlöslichen periplasmatischen Material als Pellet erhalten wurden. Der Kulturüberstand und der lösliche periplasmatische Extrakt wurden vereinigt, durch weitere Zentrifugation (30.000 g, 4°C, 40 min) geklärt. Das rekombinante Produkt wurde durch Ammoniumsulfatfällung (Endkonzentration 70% Sättigung) eingengt. Das Proteinpräzipitat wurde durch Zentrifugation (10.000 g, 4°C, 40 min) gewonnen und in 10% des Anfangsvolumens an 50 mM Tris-HCl, 1 M NaCl, pH 7,0, aufgelöst. Eine immobilisierte Metallaffinitätschromatographie (IMAC) wurde bei 4°C unter Verwendung einer 5 ml Säule an chelatierender Sepharose (Pharmacia), die mit Cu²⁺ beladen war und mit 50 mM Tris-HCl, 1 M NaCl, pH 7,0 (Startpuffer) equilibriert worden war, durchgeführt. Die Probe wurde durch ihr Leiten über die Säule aufgeladen. Sie wurde dann mit zwanzig Säulenvolumina Startpuffer, gefolgt von Startpuffer mit 50 mM Imidazol, bis die Absorption bei 280 nm des Effluenten minimal war, gewaschen (etwa dreißig Säulenvolumina). Das absorbierte Material wurde mit 50 mM Tris-HCl, 1 M NaCl, 250 mM Imidazol, pH 7,0, eluiert.

Die Proteinkonzentrationen wurden mit dem Bradford Farbstoffbindungstest (1976, Anal. Biochem., 72, 248–254) unter Verwendung des Bio-Rad(München, Deutschland)-Proteinassaykits bestimmt. Die Konzentrationen der gereinigten tetravalenten bzw. bivalenten F_v-Antikörper-Konstrukte wurden aus den A₂₈₀-Werten unter Verwendung der Extinktionskoeffizienten ε^{1mg/ml} = 1,96 bzw. 1,93 bestimmt.

Beispiel 4

Expression des tetravalenten bzw. bivalenten Antikörper-Konstruktes in der Hefe *Pichia pastoris*

Kompetente *P. pastoris* GS155-Zellen (Invitrogen) wurden in Gegenwart von 10 pg Plasmid-DNA von pPIC-DISC-LL bzw. pPIC-DISC-SL, die mit SacI linearisiert worden war, elektroporiert. Die Transformanten wurden 3 Tage bei 30°C auf YPD-Platten, die 100 pg/ml Zeocin™ enthielten, selektiert. Die Klone, die bivalente bzw. tetravalente F_v-Antikörper-Konstrukte sezernierten, wurden durch Plattenscreening unter Verwendung eines anti-c-myc-mAk 9E10 (IC Chemikalien, Ismaning, Deutschland) selektiert.

Zur Expression der bivalenten bzw. tetravalenten F_v-Antikörper-Konstrukte wurden die Klone in YPD-Medium in Schüttelkolben 2 Tage bei 30°C unter Rühren gezüchtet. Die Zellen wurden zentrifugiert, in dem gleichen Volumen des Mediums, das Methanol enthielt, resuspendiert und weitere 3 Tage bei 30°C unter Rühren inkubiert. Die Überstände wurden nach der Zentrifugation gewonnen. Das rekombinante Produkt wurde durch Ammoniumsulfatfällung, gefolgt von IMAC, wie vorstehend beschrieben, isoliert.

Beispiel 5

Charakterisierung des tetravalenten bzw. bivalenten F_v-Antikörper-Konstruktes

(A) Größenausschlußchromatographie

Eine analytische Gelfiltration der F_v-Antikörper-Konstrukte wurde in PBS unter Verwendung einer Superdex-200-HR10/30-Säule (Pharmacia) durchgeführt. Das Probenvolumen und die Fließgeschwindigkeit betragen 200 µl/min bzw. 0,5 ml/min. Die Säule wurde mit hoch- und niedermolekularen Gelfiltrations-Kalibrationskits (Pharmacia) kalibriert.

(B) Durchflußzytometrie

Die menschliche CD3⁺/CD19⁻-akute-T-Zell-Leukämie Jurkat und die CD19⁺/CD3⁻-B-Zelllinie JOK-1 wurden für die Durchflußzytometrie verwendet. 5 × 10⁵ Zellen in 50 µl RPMI 1640-Medium (GIBCO BRL, Eggenstein, Deutschland), das mit 10% FCS und 0,1% Natriumazid supplementiert war (als vollständiges Medium bezeichnet), wurden mit 100 µl der F_v-Antikörper-Präparate 45 min auf Eis inkubiert. Nach Waschen mit dem vollständigen Medium wurden die Zellen mit 100 µl 10 µg/ml anti-c-myc-mAk 9E10 (IC Chemikalien) in dem gleichen Puffer 45 min auf Eis inkubiert. Nach einem zweiten Waschzyklus wurden die Zellen mit 100 µl des FITC-markierten Ziege-anti-Maus-IgG (GIBCO BRL) unter den gleichen Bedingungen wie vorher inkubiert. Die Zellen wurden dann erneut gewaschen und in 100 µl 1 µg/ml-Propidiumiodid-Lösung (Sigma, Deisenhofen, Deutschland) in vollständigem Medium unter Ausschluß von toten Zellen resuspendiert. Die relative Fluoreszenz der gefärbten Zellen wurde unter Verwendung eines FACScan-Durchflußzytometers (Becton Dickinson, Mountain View, CA) gemessen.

(C) Cytotoxizitätstest

Die CD19-exprimierende Burkitt-Lymphoma-Zelllinie Raji und Namalwa wurden als Zielzellen verwendet. Die Zellen wurden in RPMI 1640 (GIBCO BRL), das mit 10% hitzeinaktiviertem FCS (GIBCO BRL), 2 mM Glutamin und

1 mM Pyruvat supplementiert war, bei 37°C in einer befeuchteten Atmosphäre mit 7,5% CO₂ inkubiert. Die cytotoxischen T-Zell-Tests wurden in RPMI-1640-Medium, das mit 10% FCS, 10 mM HEPES, 2 mM Glutamin, 1 mM Pyruvat und 0,05 mM 2-ME supplementiert war, durchgeführt. Die cytotoxische Aktivität wurde unter Verwendung eines Standard [⁵¹Cr]-Freisetzungstests bewertet; 2 × 10⁶ Zielzellen wurden mit 200 µCi Na [⁵¹Cr]O₄ (Amersham-Buchler, Braunschweig, Deutschland) markiert und 4mal gewaschen und anschließend in Medium in einer Konzentration von 2 × 10⁵/ml resuspendiert. Die Effektorzellen wurden auf eine Konzentration von 5 × 10⁶/ml eingestellt. Zunehmende Mengen an CTLs in 100 µl wurden auf 104 Zielzellen/Vertiefung in 50 µl titriert. 50 µl Antikörper wurden jeder Vertiefung zugesetzt. Der gesamte Test wurde dreifach ange-
 5
 10
 15
 20
 25
 30
 35
 40
 45
 50
 55
 60
 65
 70
 75
 80
 85
 90
 95
 100
 105
 110
 115
 120
 125
 130
 135
 140
 145
 150
 155
 160
 165
 170
 175
 180
 185
 190
 195
 200
 205
 210
 215
 220
 225
 230
 235
 240
 245
 250
 255
 260
 265
 270
 275
 280
 285
 290
 295
 300
 305
 310
 315
 320
 325
 330
 335
 340
 345
 350
 355
 360
 365
 370
 375
 380
 385
 390
 395
 400
 405
 410
 415
 420
 425
 430
 435
 440
 445
 450
 455
 460
 465
 470
 475
 480
 485
 490
 495
 500
 505
 510
 515
 520
 525
 530
 535
 540
 545
 550
 555
 560
 565
 570
 575
 580
 585
 590
 595
 600
 605
 610
 615
 620
 625
 630
 635
 640
 645
 650
 655
 660
 665
 670
 675
 680
 685
 690
 695
 700
 705
 710
 715
 720
 725
 730
 735
 740
 745
 750
 755
 760
 765
 770
 775
 780
 785
 790
 795
 800
 805
 810
 815
 820
 825
 830
 835
 840
 845
 850
 855
 860
 865
 870
 875
 880
 885
 890
 895
 900
 905
 910
 915
 920
 925
 930
 935
 940
 945
 950
 955
 960
 965
 970
 975
 980
 985
 990
 995

Patentansprüche

1. Multivalentes F_v-Antikörper-Konstrukt mit mindestens vier variablen Domänen, die über die Peptidlinker 1, 2 und 3 miteinander verbunden sind.
2. F_v-Antikörper-Konstrukt nach Anspruch 1, wobei die Peptidlinker 1 und 3 0–10 Aminosäuren aufweisen.
3. F_v-Antikörper-Konstrukt nach Anspruch 2, wobei die Peptidlinker 1 und 3 die Aminosäuresequenz GG aufweisen.
4. F_v-Antikörper-Konstrukt nach einem der Ansprüche 1–3, wobei das F_v-Antikörper-Konstrukt bivalent ist.
5. F_v-Antikörper-Konstrukt nach Anspruch 4, wobei der Peptidlinker 2 11–20 Aminosäuren aufweist.
6. F_v-Antikörper-Konstrukt nach Anspruch 4 oder 5, wobei der Peptidlinker 2 die Aminosäuresequenz (G₄S)₄ aufweist.
7. F_v-Antikörper-Konstrukt nach einem der Ansprüche 1–3, wobei das F_v-Antikörper-Konstrukt tetravalent ist.
8. F_v-Antikörper-Konstrukt nach Anspruch 7, wobei der Peptidlinker 2 3–10 Aminosäuren aufweist.
9. F_v-Antikörper-Konstrukt nach Anspruch 7 oder 8, wobei der Peptidlinker 2 die Aminosäuresequenz GGPGS aufweist.
10. F_v-Antikörper-Konstrukt nach einem der Ansprüche 1–9, wobei das F_v-Antikörper-Konstrukt multispezifisch ist.
11. F_v-Antikörper-Konstrukt nach Anspruch 10, wobei das F_v-Antikörper-Konstrukt bispezifisch ist.
12. F_v-Antikörper-Konstrukt nach einem der Ansprüche 1–9, wobei das F_v-Antikörper-Konstrukt monospezifisch ist.
13. Verfahren zur Herstellung des multivalenten F_v-Antikörper-Konstruktes nach einem der Ansprüche 1–12, wobei für die Peptidlinker 1, 2 und 3 kodierende DNAs mit für die vier variablen Domänen eines F_v-Antikörper-Konstruktes kodierenden DNAs ligiert werden derart, daß die Peptidlinker die variablen Domänen miteinander verbinden, und das erhaltene DNA-Molekül in einem Expressionsplasmid exprimiert wird.

14. Expressionsplasmid, kodierend für das multivalente F_v-Antikörper-Konstrukt nach einem der Ansprüche 1–12.
15. Expressionsplasmid nach Anspruch 14, nämlich pDISC3 × 19-LL. 5
16. Expressionsplasmid nach Anspruch 14, nämlich pDISC3 × 19-SL.
17. Expressionsplasmid nach Anspruch 14, nämlich pPIC-DISC-LL.
18. Expressionsplasmid nach Anspruch 14, nämlich pPIC-DISC-SL. 10
19. Verwendung des multivalenten F_v-Antikörper-Konstruktes nach einem der Ansprüche 1–12 zur Diagnose und/oder Therapie von Erkrankungen.
20. Verwendung nach Anspruch 19, wobei die Erkrankungen virale, bakterielle oder Tumor-Erkrankungen sind. 15

Hierzu 8 Seite(n) Zeichnungen

20

25

30

35

40

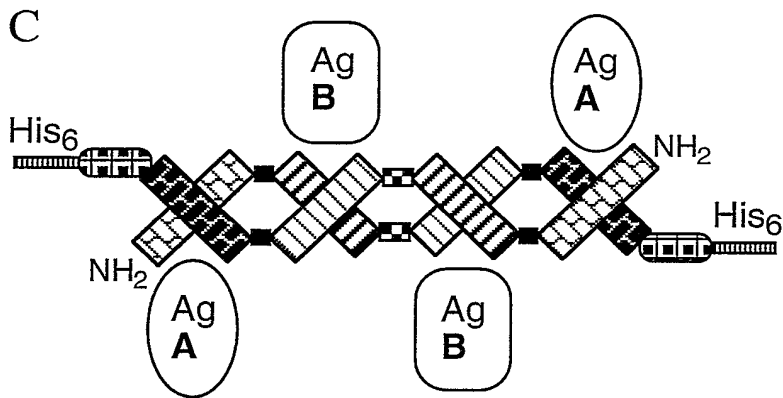
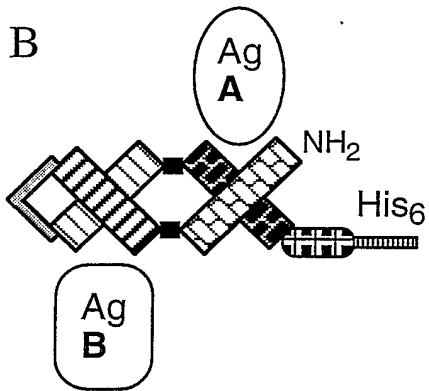
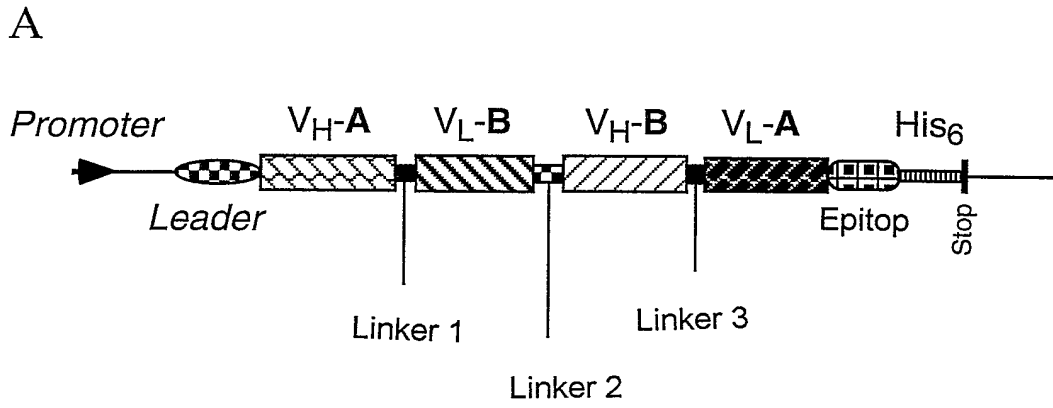
45

50

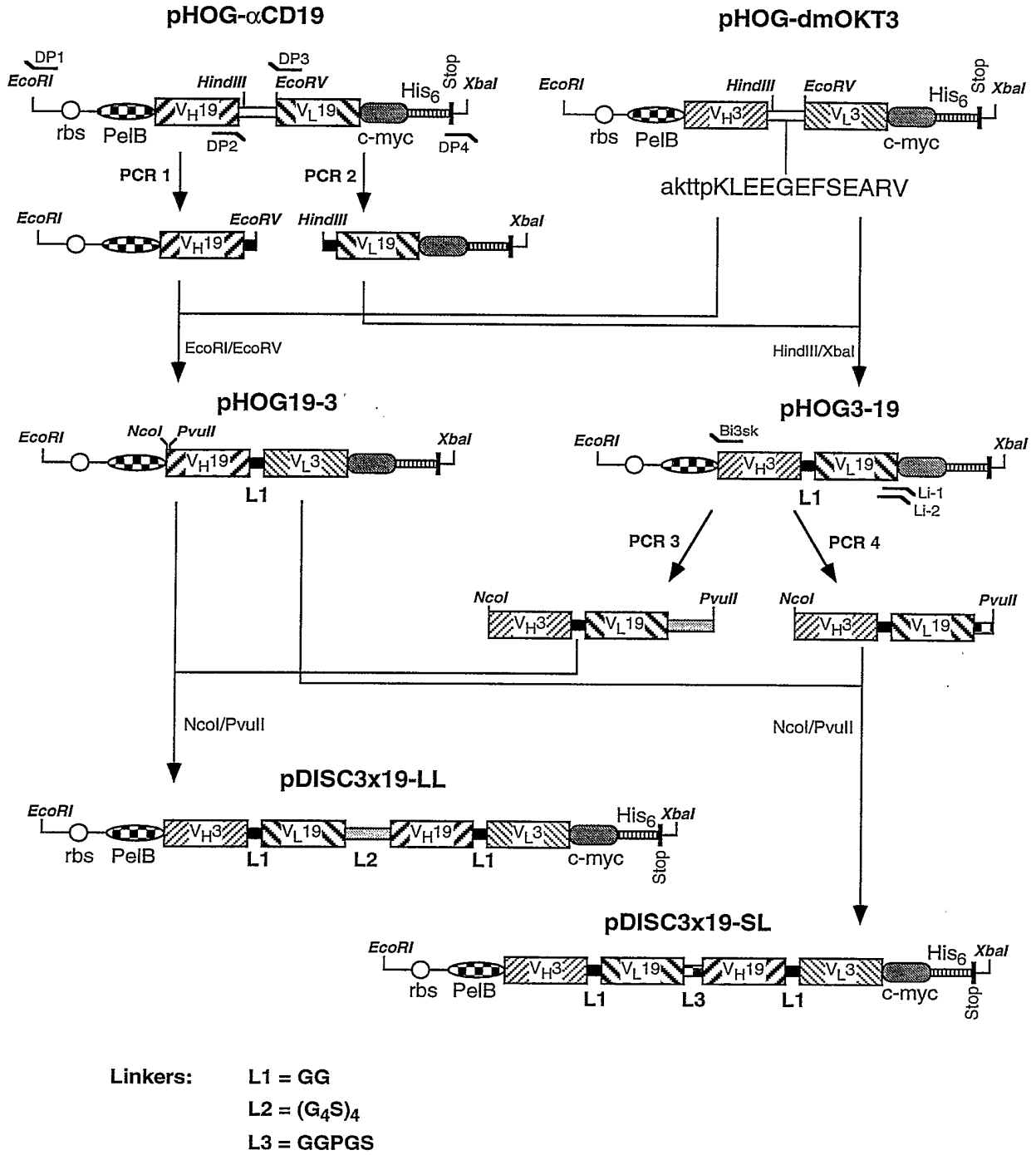
55

60

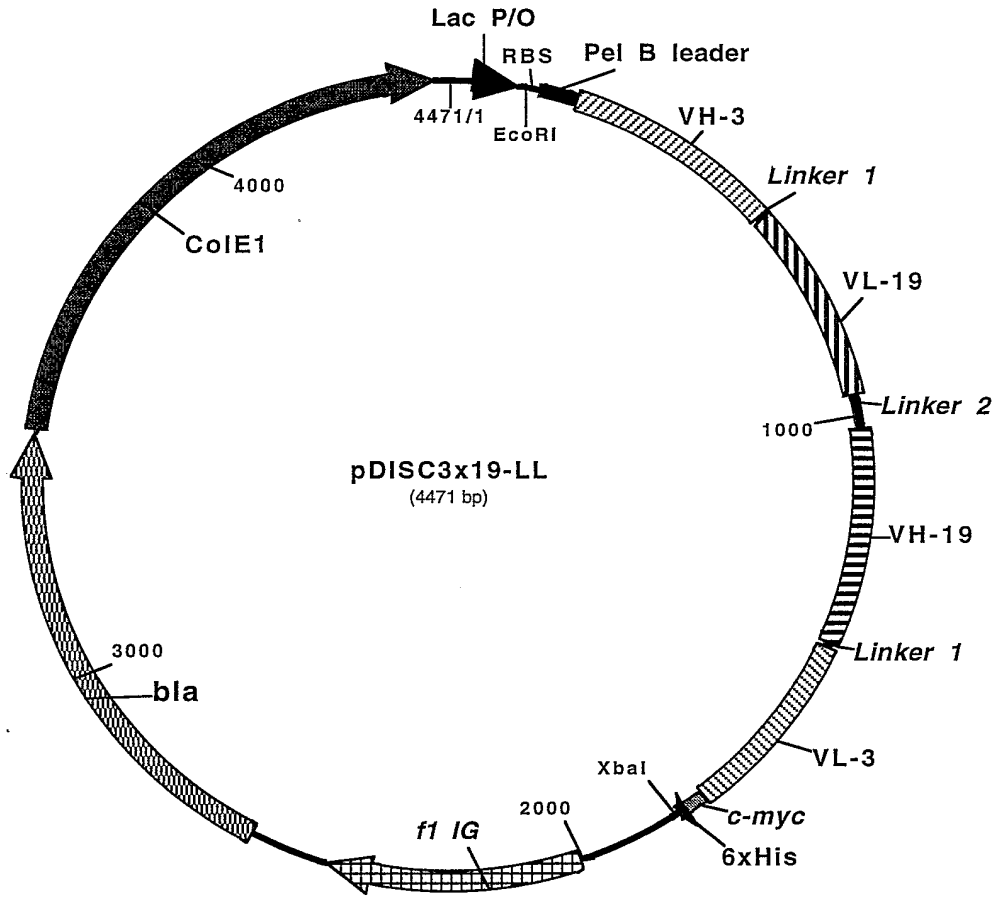
65



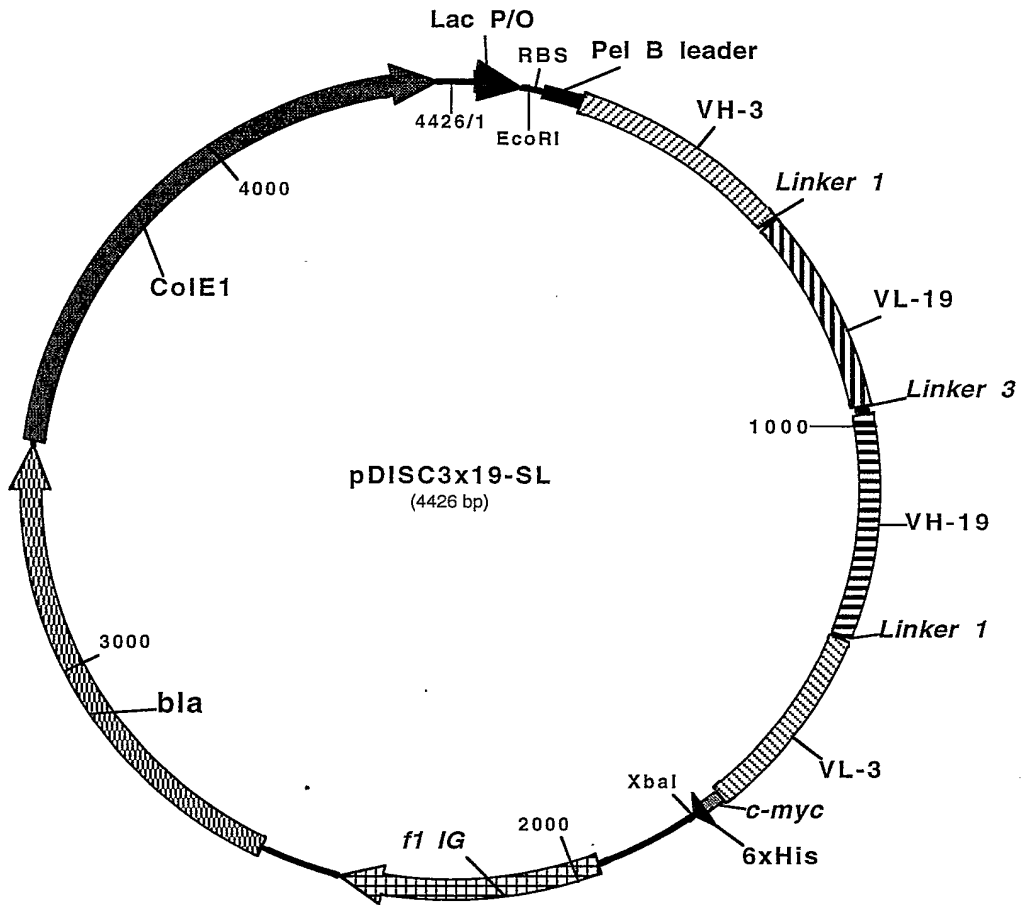
FIGUR 1



FIGUR 2



FIGUR 3



FIGUR 4

EcoRI RBS PelB leader NcoI
 1 GAATTCATTAAGAGGAGAAATTAACCATGAAATACCTATTGCCTACGGCAGCCGCTGGCTTGCTGCTGCTGGCAGCTCAGCCGGCCATGG
 1 M K Y L L P T A A A G L L L L A A Q P A M
 Frame-H1 VH anti-CD3
 92 CGCAGGTGCAACTGCAGCAGTCTGGGGCTGAACCTGGCAAGACCTGGGGCCTCAGTGAAGATGTCTGCAAGGCTTCTGGTACACCTTTAC
 22 A Q V Q L Q Q S G A E L A R P G A S V K M S C K A S G Y T F T
 CDR-H1 Frame-H2 CDR-H2
 183 TAGGTACACGATGCACCTGGGTAAACAGAGCCCTGGACAGGGTCTGGAATGGATTGGATACATTAATCCTAGCCGTTGGTTATAC
 52 R Y T M H W V K Q R P G Q G L E W I G Y I N P S R G Y T
 Frame-H3
 267 TAATTACAATCAGAAGTTCAAGGACAAGGCCACATGACTACAGACAAATCCTCCAGCACAGCCTACATGCAACTGAGCAGCCTGAC
 80 N Y N Q K F K D K A T L T T D K S S S T A Y M Q L S S L T
 CDR-H3 Frame-H4
 354 ATCTGAGGACTCTGCAGTCTATTACTGTGCAAGATATTATGATGATCATTACAGCCTTGACTACTGGGGCCAAGGCAACCTCTCA
 109 S E D S A V Y Y C A R Y Y D D H Y S L D Y W G Q G T T L
 CH1 Linker 1 Frame-L1 VL anti-CD19
 440 CAGTCTCCTCAGCCAAAACACACCAAGCTTGGCGGTGATATCTTGTCTACCCAAACTCCAGCTTCTTTGGCTGTGTCTTAGGGCAGA
 138 T V S S A K T T P K L G G D I L L T Q T P A S L A V S L G Q
 CDR-L1 Frame-L2
 530 GGGCCACCATCTCTGCAGGCGCCAAAAGTGTGATTATGATGGTGTAGTTATTTGAACTGGGTACCAACAGATTCCAGGAC
 168 R A T I S C K A S Q S V D Y D G D S Y L N W Y Q Q I P G
 CDR-L2 Frame-L3
 614 AGCCACCCAAACTCCTCATCTATGATGCATCCAATCTAGTTTCTGGGATCCCAAGGTTAGTGGCAGTGGGTCTGGGACAGACTT
 196 Q P P K L L I Y D A S N L V S G I P P R F S G S G S G T D F
 CDR-L3 Frame-L4
 702 CACCTCAACATCCATCCTGTGGAGAAGGTGGATGCTGCAACCTATCACTGTGAGCAAAGTACTGAGGATCCGTTGGCAGTTCGGTGG
 225 T L N I H P V E K V D A A T Y H C Q Q S T E D P W T F G G
 C kappa NotI Linker 2
 790 GGCACCAAGCTGGAATCAAAACGGGCTGATGCTGCGGCCGCTGGTGGTGGTGGTCTGGCGGGGGTGGTAGCGGTGGTGGCGGG
 255 G T K L E I K R A D A A A A G G G G S G G G G S G G G G
 PvuII Frame-H1 VH anti-CD19
 874 TCCGGTGGTGGTGGTAGCCAGGTGCAGCTGCAGCAGTCTGGGGCTGAGCTGGTGGAGGCTGGGTCCCTCAGTGAAGATTTCTGCAAGG
 283 S G G G G S Q V Q L Q Q S G A E L V R P G S S V K I S C K
 CDR-H1 Frame-H2 CDR-H2
 962 CTTCTGGCTATGCATTCAGTACGCTACTGGATGAACCTGGGTGAAGCAGAGGCCCTGGACAGGGTCTTGGATGGATTGGACAGATTTGGC
 312 A S G Y A F S S Y W M N W V K Q R P G Q G L E W I G Q I W
 PstI Frame-H3
 1049 CTGGAGATGGTGATACTAACAATGGAAGTTCAAGGGTAAAGCCACTCTGACTGCAGACGAATCTCCAGCACAGCCTACA
 341 P G D G D T N Y N G K F K G K A T L T A D E S S S T A Y
 CDR-H3
 1133 TGCAACTCAGCAGCCTAGCATCTGAGGACTCTGCGGTCTATTCTGTGCAAGACGGGAGACTACGACGGTAGGCCGTTATTACTATA
 369 M Q L S S L A S E D S A V Y F C A R R E T T T V G R Y Y Y
 Frame-H4 CH1 Linker 1 Frame-L1
 1219 GCTATGGACTACTGGGGTCAAGGAACCTCAGTCACCGTCTCTCAGCCAAAACACCCAAAGCTTGGCGGTGATATCGTCTCACTC
 398 A M D Y W G Q G T S V T V S S A K T T P K L G G D I V L T
 VL anti-CD3 CDR-L1
 1307 AGTCTCCAGCAATCATGTCTGCATCTCCAGGGGAGAAGGTCACCATGACCTGCAGTGCCAGCTCAAGTGTAAAGTTACATGAACTGG
 427 Q S P A I M S A S P G E K V T M T C S A S S S V S Y M N W
 Frame-L2 CDR-L2 Frame-L3
 1393 TACCAGCAGAAGTCAGGCACCTCCCCAAAAGATGGATTATGACACATCCAAACTGGCTTCTGGAGTCCCTGCTCACTTCAGGGGCA
 456 Y Q Q K S G T S P K R W I Y D T S K L A S G V P A H F R G
 CDR-L3
 1481 GTGGGTCTGGGACCCTCTTACTCTCTCACAATCAGCGGCATGGAGGCTGAAGATGCTGCCACTTATTACTGCCAGCAGTGGAGTAGTAA
 485 S G S G T S Y S L T I S G M E A E D A A T Y Y C Q Q W S S N
 Frame-L4 C kappa c-myc epitope
 1569 CCCATTCACGTTTCGGCTCGGGGACAAAGTTGGAATAAACCGGGCTGATCTGCACCAACTGGATCCGAAACAAAAGCTGATCTCAG
 514 P F T F G S G T K L E I N R A D T A P T G S E Q K L I S
 His6 tail XbaI
 1655 AAGAAGACCTAAACTCACATCACCATCACCATCACTAATCTAGA
 543 E E D L N S H H H H H H .

FIGUR 5

EcoRI RBS PelB leader NcoI

1 GAATTCATTAAGAGGAGAAATTAACCATGAAATACCTATTGGCTACGGCAGCCGCTGGCTTGCTGCTGCTGGCAGCTCAGCCGGCCATGG
 1 M K Y L L P T A A A G L L L L A A Q P A M
 Frame-H1 VH anti-CD3

92 CGCAGGTGCAACTGCAGCAGTCTGGGGCTGAACTGGCAAGACCTGGGGCCTCAGTGAAGATGTCTGCAAGGCTTCTGGCTACACCTTTAC
 22 A Q V Q L Q Q S G A E L A R P G A S V K M S C K A S G Y T F T
 CDR-H1 Frame-H2 CDR-H2

183 TAGGTACACGATGCACCTGGGTTAAACAGAGGCCTGGACAGGGTCTGGAATGGATTGGATACATTAAATCCTAGCCGTGGTTATAC
 52 R Y T M H W V K Q R P G Q G L E W I G Y I N P S R G Y T
 Frame-H3

267 TAATFACAATCAGAAGTTCAAGGACAAGGCCACATTGACTACAGACAAATCCTCCAGCACAGCCTACATGCAACTGAGCAGCCTGAC
 80 N Y N Q K F K D K A T L T T D K S S S T A Y M Q L S S L T
 CDR-H3 Frame-H4

354 ATCTGAGGACTCTGCAGTCTATTACTGTGCAAGATATTATGATGATCATTACAGCCTTGACTACTGGGGCCCAAGGCACCCTCTCA
 109 S E D S A V Y Y C A R Y Y D D H Y S L D Y W G Q G T T L
 CH1 Linker 1 Frame-L1 VL anti-CD19

440 CAGTCTCCTCAGCCAAAACAACACCCAAGCTTGGCGGTGATATCTTGCTCACCCAAACTCCAGCTTCTTTGGCTGTGTCTCTAGGCAGA
 138 T V S S A K T T P K L G G D I L L T Q T P A S L A V S L G Q
 CDR-L1 Frame-L2

530 GGGCCACCATCTCCTGCAAGGCCAAAGTGTGGATTATGATGGTGATAGTTATTTGAACTGGTACCAACAGATTCCAGGAC
 168 R A T I S C K A S Q S V D Y D G D S Y L N W Y Q Q I P G
 CDR-L2 Frame-L3

614 AGCCACCCAAACTCCTCATCTATGATGCATCCAATCTAGTTTCTGGGATCCCACCCAGGTTTAGTGGCAGTGGGTCTGGGACAGACTT
 196 Q P P K L L I Y D A S N L V S G I P P R F S G S G S G T D F
 CDR-L3 Frame-L4

702 CACCCFCAACATCCATCCTGTGGAGAAGGTGGATGCTGCAACCTATCACTGTGAGCAAAGTACTGAGGATCCGTGGACGTTCCGGTGG
 225 T L N I H P V E K V D A A T Y H C Q Q S T E D P W T F G G
 C kappa NotI Linker 3 PvuII Frame-H1

790 GGCACCAAGCTGGAAATCAAACGGGCTGATGCTGCGGCCGCTGGTGGCCAGGGTCCGAGGTGCAGCTGCAGCAGTCTGGGCTGAGCT
 255 G T K L E I K R A D A A A A G G P G S Q V Q L Q Q S G A E L
 VH anti-CD19 CDR-H1 Frame-H2

879 GGTGAGCCCTGGGCTCCTCAGTGAAGATTTCTGCAAGGCTTCTGGCTATGCATTCAGTAGCTACTGGATGAACTGGGTGAAGCAGCC
 284 V R P G S S V K I S C K A S G Y A F S S Y W M N W V K Q R
 CDR-H2

968 CTGGACAGGGTCTTGAGTGGATTGGACAGATTTGGCCCTGGAGATGGTGATACTAACTACAATGGAAAGTTCAAGGGTAAAGCC
 314 P G Q G L E W I G Q I W P G D G D T N Y N G K F K G K A
 Frame-H3

1051 ACTCTGACTGCAGACGAATCCTCCAGCACAGCCTACATGCAACTCAGCAGCCTAGCATCTGAGGACTCTGCGGTCTATTTCTGTGCAAGAC
 342 T L T A D E S S S T A Y M Q L S S L A S E D S A V Y F C A R
 CDR-H3 Frame-H4 CH1

1142 GGGAGACTACGACGGTAGGCCGTTTACTATGCTATGGACTACTGGGGTCAAGGAACCTCAGTACCCGCTCTCCTCAGCCAAA
 372 R E T T T V G R Y Y Y A M D Y W G Q G T S V T V S S A K
 Linker 1 Frame-L1 VL anti-CD3

1226 CAACACCCAAAGCTTGGCGGTGATATCGTGTCTCACTCAGTCTCCAGCAATCATGCTGCATCTCCAGGGGAGAAGTCCACATGACCTGCA
 400 T T P K L G G D I V L T Q S P A I M S A S P G E K V T M T C
 CDR-L1 Frame-L2 CDR-L2

1316 GTGCCAGCTCAAGTGTAAAGTTACATGAACTGGTACCAGCAGAAGTCAGGCACCTCCCCAAAAGATGGATTTATGACACATCCAA
 430 S A S S S V S Y M N W Y Q Q K S G T S P K R W I Y D T S K
 Frame-L3

1401 ACTGGCTTCTGGAGTCCCTGCTCACTTCAGGGGCAGTGGGTCTGGGACCTCTTACTCTCTCACAATCAGCGGCATGGAGGCTGAAGATGC
 458 L A S G V P A H F R G S G S G T S Y S L T I S G M E A E D A
 CDR-L3 Frame-L4 C kappa

1491 TGCCACTTATTACTGCGCAGCAGTGGAGTAGTAACCCATTACCGTTTCGGCTCGGGGACAAAGTTGGAAATAAACCGGGCTGATACTGC
 488 A T Y Y C Q Q W S S N P F T F G S G T K L E I N R A D T A
 c-myc epitope His6 tail XbaI

1578 ACCAACTGGATCCGAACAAAAGCTGATCTCAGAAGAAGACCTAAACTCACATCACCATCACCATCACTAACTAGA
 517 P T G S E Q K L I S E E D L N S H H H H H H H .

FIGUR 6

941 **ATGAGATTTTCCTTCAATTTTTACTGCTGTTTTATTTCGCAGCATCCTCCGCATTAGCTGCTCCAGTCAACACTAC**
 1▶ M R F P S I F T A V L F A A S S A L A A P V N T T

alpha-factor signal

1015 AACAGAAGATGAAACGGCACAAATTCGGGCTGAAGCTGTCATCGGTTACTCAGATTTAGAAGGGGATTTTCGATG
 25▶ T E D E T A Q I P A E A V I G Y S D L E G D F D

1089 TTGCTGTTTTGCCATTTTCCAACAGCACAAATAACGGGTTATTGTTTTATAAAATACTACTATTGCCAGCATTGCT
 50▶ V A V L P F S N S T N N G L L F I N T T I A S I A

XhoI

EcoRI

1163 GCTAAAGAAGAAGGGGTATCTCTCGAGAAAAGAGAGGCTGAAGCTGAATTC**CAGGTGCAACTGCAGCAGTC**
 75▶ A K E E G V S L E K R E A E A E F Q V Q L Q Q S

VH anti-CD3

1234 **TGGGGCTGAACTGGCAAGACCTGGGGCCTCAGTGAAGATGTCCTGCAAGGCTTCT**
 98▶ G A E L A R P G A S V K M S C K A S

FIGUR 7

941 **ATGAGATTTCTTCAATTTTTACTGCTGTTTTATTTCGCAGCATCCTCCGCATTAGCTGCTCCAGTCAACACTAC**
 1▶ M R F P S I F T A V L F A A S S A L A A P V N T T

alpha-factor signal

1015 AACAGAAGATGAAACGGCACAAATTCGGGCTGAAGCTGTCATCGGTTACTCAGATTTAGAAGGGGATTTTCGATG
 25▶ T E D E T A Q I P A E A V I G Y S D L E G D F D

BsrDI

1089 TTGCTGTTTTGCCATTTTCCAACAGCACAAATAACGGGTTATTGTTTTATAAAATACTACTATTGCCAGCATTGCT
 50▶ V A V L P F S N S T N N G L L F I N T T I A S I A

XhoI

EcoRI

1163 GCTAAAGAAGAAGGGGTATCTCTCGAGAAAAGAGAGGCTGAAGCTGAATTCATGGCG**CAGGTGCAACTGCAG**
 75▶ A K E E G V S L E K R E A E A E F M A Q V Q L Q

VH anti-CD3

1235 **CAGTCTGGGGCTGAACTGGCAAGACCTGGGGCCTCAGTGAAGATGTCCTGCAAGGCTTCT**
 99▶ Q S G A E L A R P G A S V K M S C K A S

FIGUR 8